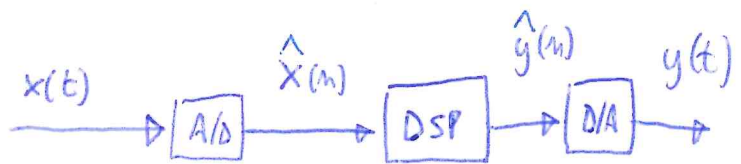


CAMPIONAMENTO



Il campionamento è l'operazione che permette di "estraere" dei valori da un segnale a Tempo continuo, generando quindi un segnale a Tempo discreto:

$$\hat{x}(n) = x(t) \Big|_{t=nT_c}$$

Cioè i valori di $\hat{x}(n)$ sono quelli assunti da $x(t)$, per i intervalli di durata T_c . Tale valore T_c è detto periodo di campionamento ed il suo reciproco, $f_c = 1/T_c$, è la frequenza di campionamento.

Il campionamento è importante perché è estremamente facile realizzare l'elaborazione dei segnali numerici (DSP, Digital Signal Processing), sia in software che in hardware.

Più in generale, si passa da un segnale t.c. x ad un segnale t.d. \hat{x} (\hat{x} è anche a valori discosti; cioè è quantizzato, ma non ci soffermeremo su questo aspetto perché spesso tale "quantizzazione" è talmente fine da non apportare distorsioni significative). Tale operazione è detta conversione analogico/digitale, A/D. L'operazione duale è la conversione digitale/analogica (D/A).

21

È importante quindi chiedersi in che condizioni la conversione A/D non fa "perdere informazione". In altre parole, quando è possibile ricostruire perfettamente $x(t)$ a partire dai suoi campioni $x(nT_c)$? Come si ottiene la ricostruzione?

Le risposte a queste domande si ottiene con la formula di Peirce e con il Teorema del campionamento di Shannon.

Formula di Peirce: legame fra TFCc e TFCd

La formula di Peirce stabilisce il legame fra la TFCc di un segnale t.c. x e la TFCd dei suoi campioni, ponendo le basi del Teorema del campionamento.

In particolare si stabilisce che il campionamento nel tempo implica una replica in frequenza, dualmente a quanto visto per la replica nel tempo (che istituisce un campionamento in frequenza).

Sia ora $x \in L^1(\mathbb{R})$ e costruiamo il segnale t.d. \hat{x} :

$\hat{x}: n \in \mathbb{Z} \rightarrow x(n) \in \mathbb{C}$ sono i "campioni" di x presi con passo unitario

Supponiamo ora che, dette $X(\omega)$ la TFCc di x , si abbia

$X \in L^1(\mathbb{R})$; infine supponiamo anche che $\hat{x} \in L^1$

In queste ipotesi, possiamo introdurre $\hat{X}(\omega)$, la TFCd di \hat{x} .

Posto ora $Y(\omega) = \text{rep}_{i\pi} X(\omega) = \sum_{n=-\infty}^{+\infty} X(\omega + 2\pi n)$ si ha

$$1) Y \in L^1(-\pi, \pi)$$

$$2) Y(\omega) = \hat{X}(\omega)$$

Quest'ultima, che si può scrivere:

$$\sum_{k=-\infty}^{+\infty} X(k) e^{-jk\omega} = \sum_{n=-\infty}^{+\infty} X(\omega + 2\pi n)$$

è la

formula di Peirce

DIM) Per ipotesi, $X \in L^1(\mathbb{R})$ quindi

$$\|X\|_1 = \int_{-\infty}^{+\infty} |X(\omega)| d\omega = \sum_{k=-\infty}^{+\infty} \int_{(2k-1)\pi}^{(2k+1)\pi} |X(\omega)| d\omega$$

Ora poniamo $\vartheta = \omega - 2k\pi \Leftrightarrow \omega = \vartheta + 2k\pi$ e $d\omega = d\vartheta$. Si ha:

$$\begin{aligned} \|X\|_1 &= \sum_{k=-\infty}^{+\infty} \int_{-\pi}^{\pi} |X(\vartheta + 2k\pi)| d\vartheta = \int_{-\pi}^{\pi} \sum_{k=-\infty}^{+\infty} |X(\vartheta + 2k\pi)| d\vartheta \\ &\geq \int_{-\pi}^{\pi} \left| \sum_{k=-\infty}^{+\infty} X(\vartheta + 2k\pi) \right| d\vartheta = \int_{-\pi}^{\pi} |Y(\vartheta)| d\vartheta = \|Y\|_1 \end{aligned}$$

norme
in $L^1(-\pi, \pi)$

Cioè $\|Y\|_1 \leq \|X\|_1 < +\infty \Rightarrow Y \in L^1(-\pi, \pi)$ C.V.D.

Inoltre $X \in L^1(\mathbb{R}) \Rightarrow X$ uniformemente continua $\Rightarrow Y$ continuo

In conclusione Y è periodica e soddisfa le ipotesi del teorema di Dirichlet. Poniamo quindi calcolare i coeff. delle serie di Fourier di Y , poi applicheremo la formula di intensità: Per gli a_k , il periodo è 2π e quindi $\omega_0 = 1$. Si ha:

$$a_k = \frac{1}{2\pi} \int_{-\pi}^{\pi} Y(\vartheta) e^{-jk\vartheta} d\vartheta = \frac{1}{2\pi} \int_{-\pi}^{\pi} \sum_{n=-\infty}^{+\infty} X(\vartheta + 2n\pi) e^{-jk(\vartheta + 2n\pi)} d\vartheta$$

$$= \frac{1}{2\pi} \sum_{n=-\infty}^{+\infty} \int_{-\pi}^{\pi} X(\vartheta + 2\pi n) e^{-jk(\vartheta + 2\pi n)} d\vartheta$$

ponendo $\omega = \vartheta + 2\pi n$, si ottiene

$$a_k = \frac{1}{2\pi} \sum_{n=-\infty}^{+\infty} \int_{(2n-1)\pi}^{(2n+1)\pi} X(\omega) e^{-jk\omega} d\omega = \frac{1}{2\pi} \int_{-\infty}^{+\infty} X(\omega) e^{j\omega(-k)} d\omega = x(-k)$$

Infatti per la TF di x possono applicare le conv. per tutte le

Infine possiamo applicare Dirichlet alle SDF di \hat{Y} : [6]

$$\begin{aligned} Y(w) &= \sum_{k=-\infty}^{+\infty} x_k e^{jk\omega} = \sum_{k=-\infty}^{+\infty} X(-k) e^{jk\omega} \stackrel{(m=-k)}{=} \sum_{m=-\infty}^{+\infty} x(m) e^{-jm\omega} \\ &= \sum_{m=-\infty}^{+\infty} \hat{x}(m) e^{-jm\omega} = \hat{X}(w) \quad \text{CVD} \end{aligned}$$

In altre parole: se del segnale $x: \mathbb{R} \rightarrow \mathbb{C}$ conosciamo

solamente i campioni $\hat{x}(n) = x(nT_c)$ con $T_c = 1$

possiamo calcolare non $X(w)$ ma $\text{rep}_{2\pi}[X](w) = \sum_{k=-\infty}^{+\infty} X(w+2k\pi)$

In che condizioni è possibile ricavare $X(w)$ da $\text{rep}_{2\pi}[X](w)$?

Se $X(w) = 0 \quad \forall w \notin (-\pi, \pi)$, allora $\forall w \in (-\pi, \pi) \quad X(w+2k\pi) = 0 \quad \forall k \neq 0$

e quindi $\forall w \in (-\pi, \pi) \quad \sum_{k=-\infty}^{+\infty} X(w+2k\pi) = X(w)$

Sia allora $Z(w) = \text{rect}\left(\frac{w}{2\pi}\right) \cdot \hat{X}(w)$

per quanto detto, se $X(w) = 0 \quad \forall w \notin (-\pi, \pi)$, allora $Z(w) = X(w)$

e allora possiamo applicare il Teorema d'inversione a $Z(w)$
e, in fine dei conti, recuperare $x(t)$ dai suoi campioni $\hat{x}(n)$

Il tipo di convergenza dipende dalle ipotesi che possiamo applicare a X

Il Teorema d'inversione dà questo regole:

$$x(t) = \frac{1}{2\pi} \int_{-\infty}^{+\infty} Z(w) e^{jwt} dw = \frac{1}{2\pi} \int_{-\infty}^{+\infty} \text{rect}\left(\frac{w}{2\pi}\right) \hat{X}(w) e^{jwt} dw \quad [5]$$

$$= \frac{1}{2\pi} \int_{-\pi}^{\pi} e^{jwt} \sum_{n=-\infty}^{+\infty} \hat{X}(n) e^{-jwn} dw = \frac{1}{2\pi} \sum_{n=-\infty}^{+\infty} X(n) \int_{-\pi}^{\pi} e^{jw(t-n)} dw$$

$$= \frac{1}{2\pi} \sum_{n=-\infty}^{+\infty} X(n) \left[\frac{e^{jw(t-n)}}{j(t-n)} \right]_{w=-\pi}^{w=\pi} = \sum_{n=-\infty}^{+\infty} X(n) \frac{e^{j\pi(t-n)} - e^{-j\pi(t-n)}}{2j\pi(t-n)}$$

$$x(t) = \sum_{n=-\infty}^{+\infty} X(n) \text{sinc}(t-n) \quad (3)$$

infatti $X \in L^2 \Rightarrow x$ unif. continua

Nelle ipotesi fatte ($X \in L^2$ e x continua e tratti) la convergenza è puntuale. Se invece $X \in L^2$ si può dimostrare che la (3) vale quasi ovunque (cioè convergente in L^2)

La formula (3) è detta formula d'interpolazione
ideale o interpolazione di Shannon.

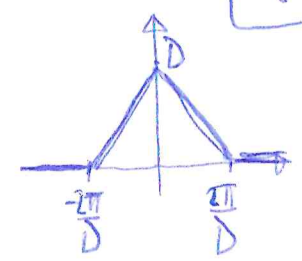
Si vede che, un regole \times "a banda limitata", cioè
Tale che $Z(x)(w) = 0 \quad \forall w \notin (-\pi, \pi)$ può essere
ricostruito usando i suoi componenti $X(n)$ per modellare
dei sinc traslati

Nel seguito, generalizzeremo le (3) al caso in cui
il periodo di campionamento ne' qualsiasi
otteniamo in questo modo il Teorema del campionamento
di Shannon

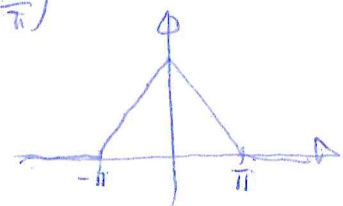
6

Vediamo per prima un esempio

$$\text{Se } x(t) = \text{sinc}^2\left(\frac{t}{D}\right) \Rightarrow X(\omega) = D \Delta\left(\frac{\omega}{2\pi} \cdot \frac{D}{2}\right)$$

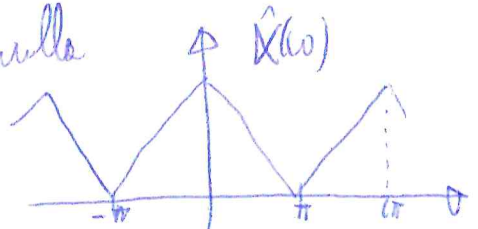


1) Se $D = 2$, cioè $x(t) = \text{sinc}^2\left(\frac{t}{2}\right)$ e $X(\omega) = 2 \Delta\left(\frac{\omega}{\pi}\right)$



In questo caso, $\hat{X}(\omega) = \text{rep}_{2\pi}[X](\omega)$

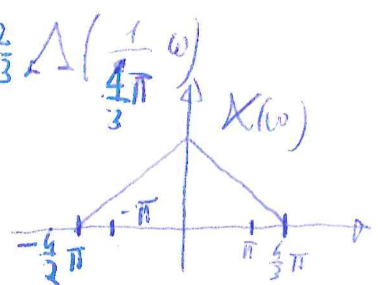
in ogni periodo c'è una sola replica non nulla



È possibile allora ricostruire $x(t)$

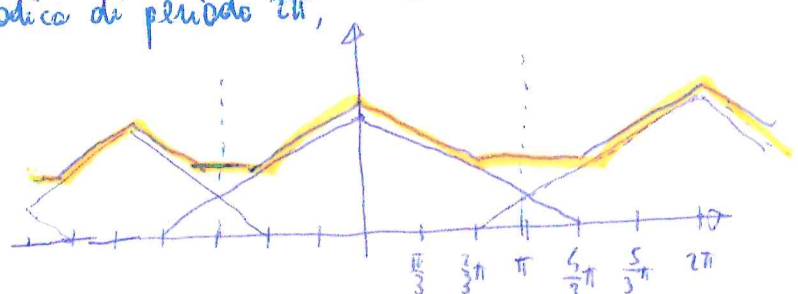
dai suoi campioni presi con passo uniforme

2) Se $D = \frac{3}{2}$ cioè $x(t) = \text{sinc}^2\left(\frac{t}{3/2}\right) \Rightarrow X(\omega) = \frac{2}{3} \Delta\left(\frac{4\pi}{3} \cdot \frac{\omega}{\pi}\right)$



Effettuiamo le repliche periodiche di periodo 2π ,

$$\hat{X}(\omega) = \text{rep}_{2\pi}[X](\omega)$$



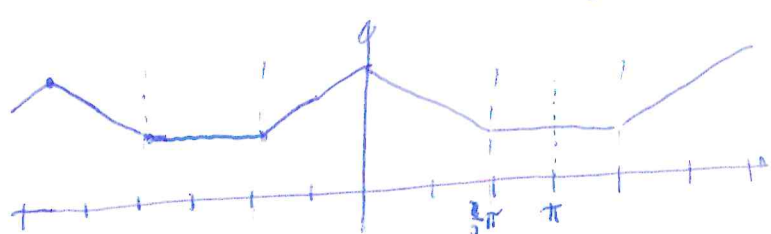
Nell'intervallo

$$\left(\frac{2\pi}{3}, \pi\right)$$

c'sono 2 repliche

che contribuiscono

è impossibile recuperare $X(\omega)$: fenomeno dell'aliasing



Generalizzazione del periodo di campionamento:

[7]

TEOREMA DEL CAMPIONAMENTO DI SHANNON

Sia ora $x: \mathbb{R} \rightarrow \mathbb{C}$, $T_c \in \mathbb{R}_0^+$ $\hat{w}: \mathbb{Z} \rightarrow \mathbb{C}$

$$\text{con } \hat{w}(n) = x(t) \Big|_{t=nT_c}$$

così \hat{w} è il campionamento di x con passo T_c

Supponiamo che:

$$x \in L^1(\mathbb{R}), \quad \hat{w} \in l^1(\mathbb{Z})$$

Allora

1) Se $X \in L^1(\mathbb{R})$, $\hat{W}(w)$ è uguale $\frac{1}{T_c} \text{rep}_{2\pi} \left[X\left(\frac{w}{T_c}\right) \right]$

2) Se X è a bande limitata così,
 $\exists w_M: \forall |w| > w_M \quad X(w) = 0$ (il che implica, con $X \in L^1$, che X

$$\text{Se } T_c \leq \frac{\pi}{w_M} \quad \Leftrightarrow \quad f_c \geq \frac{w_M}{2\pi} = 2f_M \quad (\text{condizione di Nyquist})$$

Allora

$$x(t) = \sum_{n=-\infty}^{+\infty} x(nT_c) \sin\left(\frac{t-nT_c}{T_c}\right) \quad (5)$$

DIM 1) Sia $w(t) = x(t \cdot T_c) \Rightarrow W(w) = \frac{1}{T_c} X\left(\frac{w}{T_c}\right)$

Allora, siccome $X \in L^1(\mathbb{R})$ anche $w \in L^1(\mathbb{R})$

Analogamente $X \in L^1(\mathbb{R}) \Rightarrow W \in L^1(\mathbb{R})$

Visto poi che $\hat{w} \in l^1$ per ipotesi, poniamo applicare
 le formule di Poisson a w , ottenendo

$$\hat{W}(w) = \sum_{k=-\infty}^{+\infty} W(w + 2\pi k)$$

Ma $\hat{W}(w)$ è uguale alla T.F.d di $\hat{w}(n) = x(nT_c)$ [8]

mentre $\hat{W}(w) = \frac{1}{T_c} \sum_{k=0}^{\frac{1}{T_c}} X\left(\frac{k}{T_c}\right)$ $\sum_{k=0}^{\frac{1}{T_c}}$ è il coefficiente di scalo

$$= \frac{1}{T_c} X\left(\frac{w}{T_c}\right)$$

abbiamo allora

$$\sum_{n=-\infty}^{+\infty} x(nT_c) e^{-jwN} = \frac{1}{T_c} \sum_{k=-\infty}^{+\infty} X\left(\frac{w+2k\pi}{T_c}\right) \quad (5)$$

\uparrow
componimento nel Tempo
con passo T_c

\uparrow
combro scalo ($1/T_c$)
e replica periodica
di periodo 2π

La (5) è detta formula di Poisson generalizzata

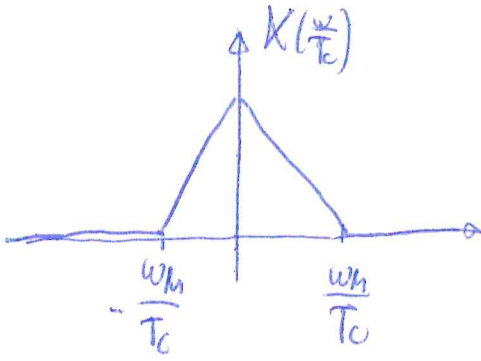
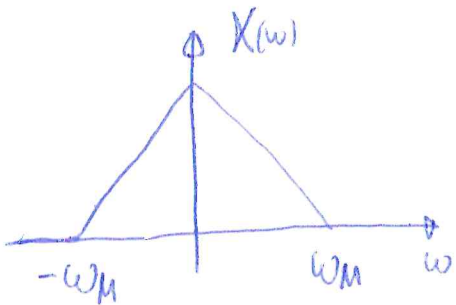
Osserviamo che nello (5), a dx si effettua prima

un cambio scalo: $w \rightarrow \frac{w}{T_c}$

e poi un ritardo $w \rightarrow w + 2k\pi$

Q.M. 2 Se x è un segnale a banda limitata $(-\omega_M, \omega_M)$

abbiamo che $X\left(\frac{w}{T_c}\right)$ ha supporto $(-\frac{T_c \omega_M}{T_c}, \frac{T_c \omega_M}{T_c})$



N.B. l'andamento di $X(w)$ è solo illustrativo, è comunque il Teorema non è limitato all'impulso triangolare.
L'importante è il supporto di $X(w)$

Ora, le ipotesi $x \in L^1(\mathbb{R})$ e X a supporto finito implicano $X \in L^1(\mathbb{R})$ (perché continua)

Quindi possiamo applicare la formula di Poisson generalizzata

e scrivere che

$$\sum_{n=-\infty}^{+\infty} x(nT_c) e^{-j\omega n} = \frac{1}{T_c} \sum_{k=-\infty}^{+\infty} X\left(\frac{\omega + 2\pi k}{T_c}\right)$$

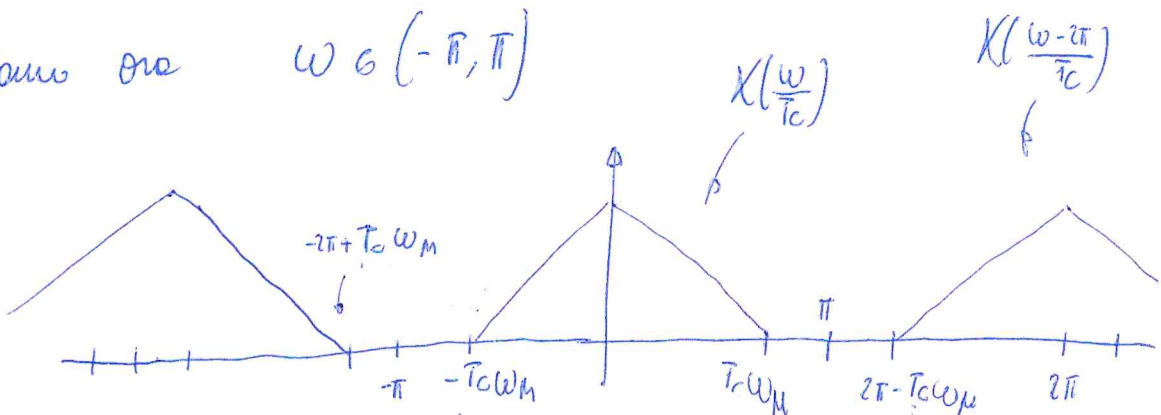
Il termine $X\left(\frac{\omega + 2\pi k}{T_c}\right)$ è una versione

scalata e ritardata di X :

$X\left(\frac{\omega}{T_c}\right)$ ha supporto per $\omega \in (-T_c w_M, T_c w_M)$

$X\left(\frac{\omega + 2\pi k}{T_c}\right)$ ha supporto per $\omega \in (-T_c w_M - 2\pi k, T_c w_M - 2\pi k)$

Consideriamo ora $\omega \in (-\pi, \pi)$



La replica per $k=0$ contribuisce in (Tcw_M, Tcw_M)

La replica per $k=1$ ha supporto $(2\pi - Tcw_M, 2\pi + Tcw_M)$

Ora, se $Tcw_M \leq 2\pi - Tcw_M$

le due repliche non si sovrappongono

Questo è vero per ogni coppia di repliche consecutive ed a maggior ragione, per coppie di repliche con valori di w più distanti.

$$\text{In conclusione, } \pi - T_c w_M \leq 2\pi - T_c w_m \quad (*)$$

per ogni valore di w c'è soltanto un contributo nello replica periodica degli $X\left(\frac{w}{T_c}\right)$

In particolare quindi, la condizione (*) si riscrive

$$T_c \leq \frac{\pi}{w_m} \Leftrightarrow T_c \leq \frac{1}{2} \frac{2\pi}{w_m} = \frac{1}{2} f_m \Leftrightarrow f_c \geq 2 f_m$$

Tale condizione è detta condizione di Nyquist

Se la condizione di Nyquist è soddisfatta, allora

$$\boxed{H(w) \in (-\pi, \pi) \quad \sum_{n=-\infty}^{+\infty} X(nT_c) e^{-jwn} = \frac{1}{T_c} X\left(\frac{w}{T_c}\right)}$$

Per estendere a $w \in \mathbb{R}$, osserviamo che il termine $e^{-jw n}$ è periodico di periodo 2π , mentre quello a dx ha rapporto in $(-\pi, \pi)$.

Poniamo quindi allora:

$$\forall w \in \mathbb{R}, \quad \text{rect}\left(\frac{w}{2\pi}\right) \cdot \sum_{n=-\infty}^{+\infty} x(nT_c) e^{-jwn} = \frac{1}{T_c} X\left(\frac{w}{T_c}\right)$$

[21]

Indicando $\sum_{n=-\infty}^{+\infty} x(nT_c) e^{-jwn}$ con $\hat{W}(w)$ si ha

$$\frac{1}{T_c} X\left(\frac{w}{T_c}\right) = \text{rect}\left(\frac{w}{2\pi}\right) \cdot \hat{W}(w)$$

$$X(w) = T_c \cdot \text{rect}\left(\frac{T_c}{2\pi} w\right) \cdot \hat{W}(T_c \cdot w)$$

Inoltre, posto $w(t) = x(t \cdot T_c)$, possiamo applicare al segnale $w(t)$ la formula di ricostruzione (3), perché w soddisfa tutte le ipotesi della formula di Shannon per periodo di campionamento unitario. Si ha:

$$w(t) = \sum_{n=-\infty}^{+\infty} w(n) \sin\left(\frac{\pi}{T_c}(t-n)\right) = \sum_{n=-\infty}^{+\infty} x(nT_c) \sin\left(\frac{\pi}{T_c}(t-n)\right)$$

$$x(t) = w\left(\frac{t}{T_c}\right) = \sum_{n=-\infty}^{+\infty} x(nT_c) \sin\left(\frac{\pi}{T_c}\left(\frac{t}{T_c}-n\right)\right)$$

$$x(t) = \sum_{n=-\infty}^{+\infty} x(nT_c) \sin\left(\frac{\pi}{T_c}\left(\frac{t-nT_c}{T_c}\right)\right)$$

Formula d'interpolazione ideale

Compionamento di segnali a bande non limitate

[12]

Il Teorema del compionamento di Shannon può essere interpretato in questo modo: posto $\text{sinc} \in \mathbb{Z}$

$$\Psi_n(t) = \text{sinc}\left(\frac{t - nT_c}{T_c}\right), \quad \text{l'insieme } \{\Psi_n\}_{n \in \mathbb{Z}}$$

è una base ortogonale del sottospazio dei segnali

a bande limitata in $(-\omega_M, \omega_M)$ con $\omega_M = \frac{\pi}{T_c}$

e ad energia finita (chiamiamo S_B tale sottospazio)

ci poniamo la domanda: qual è la migliore rappresentazione (in questo sottospazio) dei segnali a bande non limitate?

In altre parole, se si soddisfa le ipotesi di Shannon
ma c'è a bande non limitata, qual è il
miglior modo di rappresentarlo nella base $\{\Psi_n\}$?

(cioè Troncatura dei sinc)

Matematicamente, il problema si formule così:

13

Sia $x \in L^2(\mathbb{R})$ e tale da soddisfare Poisson.

Sia $y(t) = \sum_n s_n \cdot \sin\left(\frac{t - nT_c}{T_c}\right)$

Come scegliere s_n in modo da minimizzare

l'errore di ricostruzione $\|x - y\|_2$?

Sia $X_{LP} = x * \text{sinc}\left(\frac{t}{T_c}\right) \Leftrightarrow X_{LP}(w) = X(w) T_c \text{rect}\left(\frac{T_c w}{2\pi}\right)$

X_{LP} è a banda limitata e soddisfa le hp del T. di Shannon.

Sia poi $X_{HP} = x - X_{LP} \Leftrightarrow X = X_{LP} + X_{HP}$

Qualunque sia y generato dai sinc (quindi $y \in S_B'$),

$$\pi \cdot \|x - y\|_2^2 \stackrel{(a)}{=} \|X - Y\|_2^2 = \|X_{HP} + (X_{LP} - Y)\|_2^2 \stackrel{(b)}{=} \|X_{HP}\|_2^2 + \|X_{LP} - Y\|_2^2$$

(a) verità di Parseval

(b) $X_{HP} \perp X_{LP} - Y$: infatti $\langle X_{HP}, X_{LP} - Y \rangle = \int_{-\infty}^{+\infty} K_{HP}(w) \cdot (X_{LP}(w) - Y(w)) dw$

ma $K_{HP} = 0 \ \forall w \in (-w_p, w_p)$ mentre $X_{LP} - Y \neq 0 \ \forall w \notin (-w_p, w_p)$

quindi $\langle X_{HP}, X_{LP} - Y \rangle = 0$

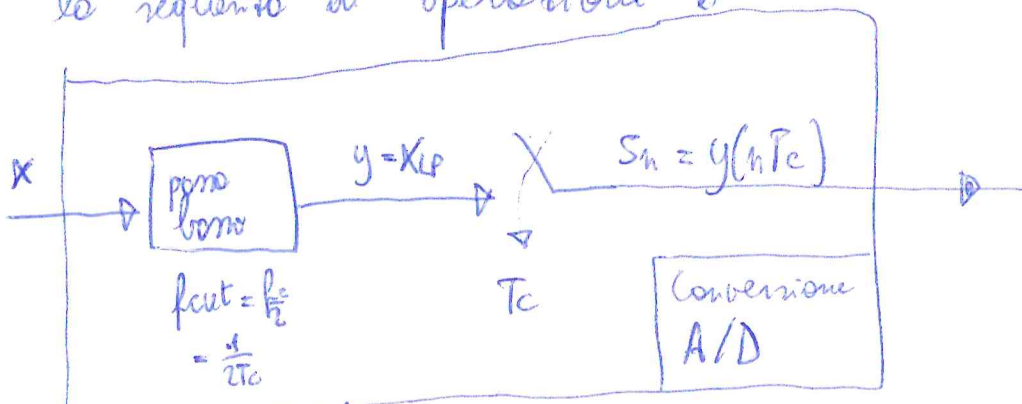
Se $X_{HP} \perp X_{LP} - Y$ allora basta applicare il Teorema di Pitagora per avere l'identità (b)

Allora per minimizzare $\|x - y\|_h$ bisogna

prendere $y = X_{LP} \in S_B'$

(16)

Quindi lo sequenza di operazioni è:



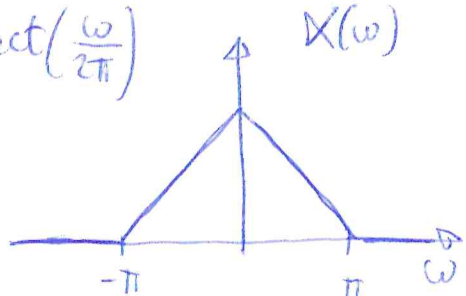
Ecco perché, prima di ogni operazione di campionamento a frequenza $fc = 1/T_c$, è necessario un filtro

pass-basso (filtro anti aliasing) con frequenza di

Toglio $f_{cut} = fc/2$ cioè la metà della freq. di campionamento

Esercizio Si è un segnale a banda limitata:

$$X(\omega) = \Lambda\left(\frac{\omega}{\pi}\right) = \left(1 - \frac{|\omega|}{\pi}\right) \text{rect}\left(\frac{\omega}{2\pi}\right)$$



Calcolare lo TFTd

di $x(nT_c)$ in tre casi

- a) $T_c = 1$
- b) $T_c = 1/2$
- c) $T_c = 3/2$

Discutere nella possibilità di ricostruire X dai suoi campioni nei 3 casi.

Soluzione

15

Sappiamo che $\mathcal{F}(\sin^2(t))(\omega) = \Lambda\left(\frac{\omega}{2\pi}\right)$

Per cui $\mathcal{F}(\sin^2(\frac{t}{T})) = 2\Lambda\left(\frac{2\omega}{2\pi}\right) = 2X(\omega)$

Allora $x(t) = \frac{1}{T} \sin^2\left(\frac{t}{T}\right) \in L^1(\mathbb{R})$

Si può anche mostrare che $x(nT_c) \in l^1(\mathbb{Z})$ (verrà dim.)

Allora possiamo applicare la formula di Poisson e,

perciò $\hat{W}(n) = x(nT_c)$, lo TFT da calcolo è

$$\hat{W}(\omega) = \frac{1}{T_c} \text{rep}_{2\pi} \left[S_{\frac{1}{T_c}}(x) \right](\omega) = \frac{1}{T_c} \sum_{n=-\infty}^{+\infty} X\left(\frac{\omega + 2nk\pi}{T_c}\right)$$

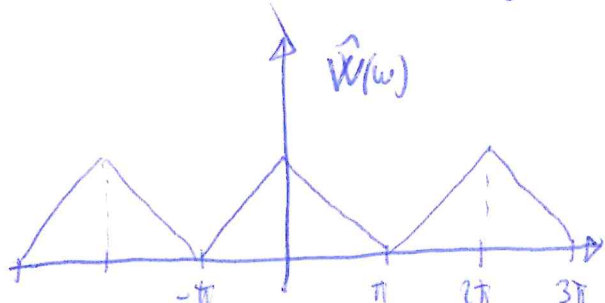
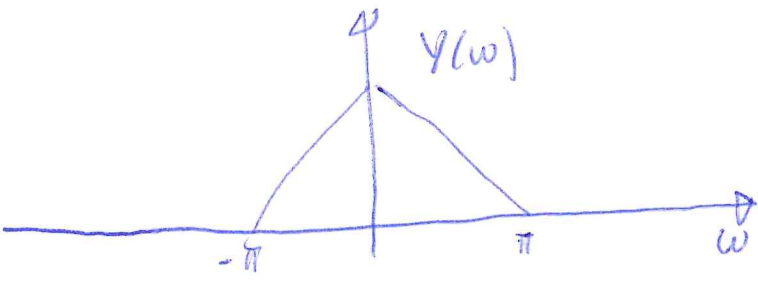
Formiamo questo calcolo in due passaggi.

i) Calcoliamo $Y(\omega) = \frac{1}{T_c} X\left(\frac{\omega}{T_c}\right)$

ii) Calcoliamo $\hat{W}(\omega) = \text{rep}_{2\pi}(Y)(\omega)$

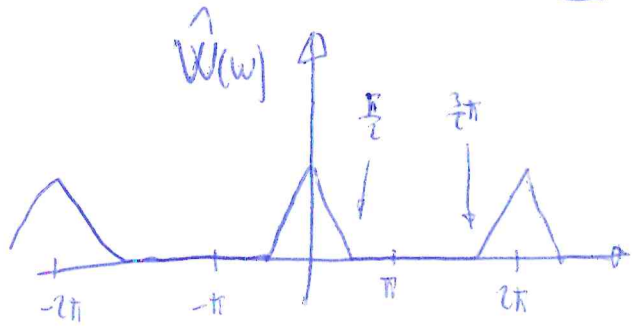
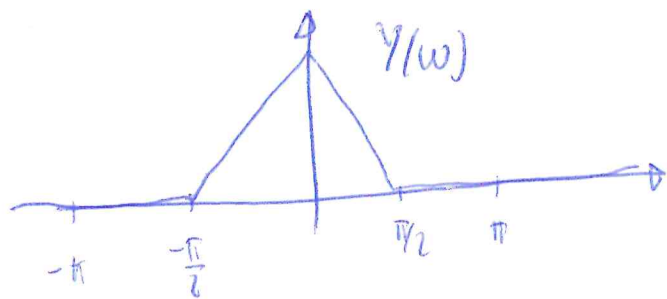
a) $T_c = 1 \Rightarrow Y(\omega) = X(\omega)$

Y ha supporto $(-\pi, \pi)$ quindi le repliche non hanno supporto in comune: si dice che non c'è aliasing



b) $Y(w) = 2X(2w) = 2\Delta\left(\frac{w}{\pi/2}\right)$

16

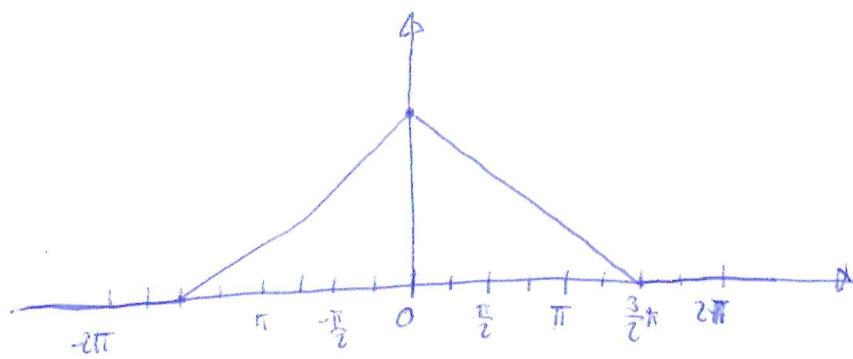


Anche in questo caso le repliche di Y sono non sovrapposte.

Non c'è aliasing e x può essere recuperato dai suoi componenti con la formula dell'interpolazione ideale

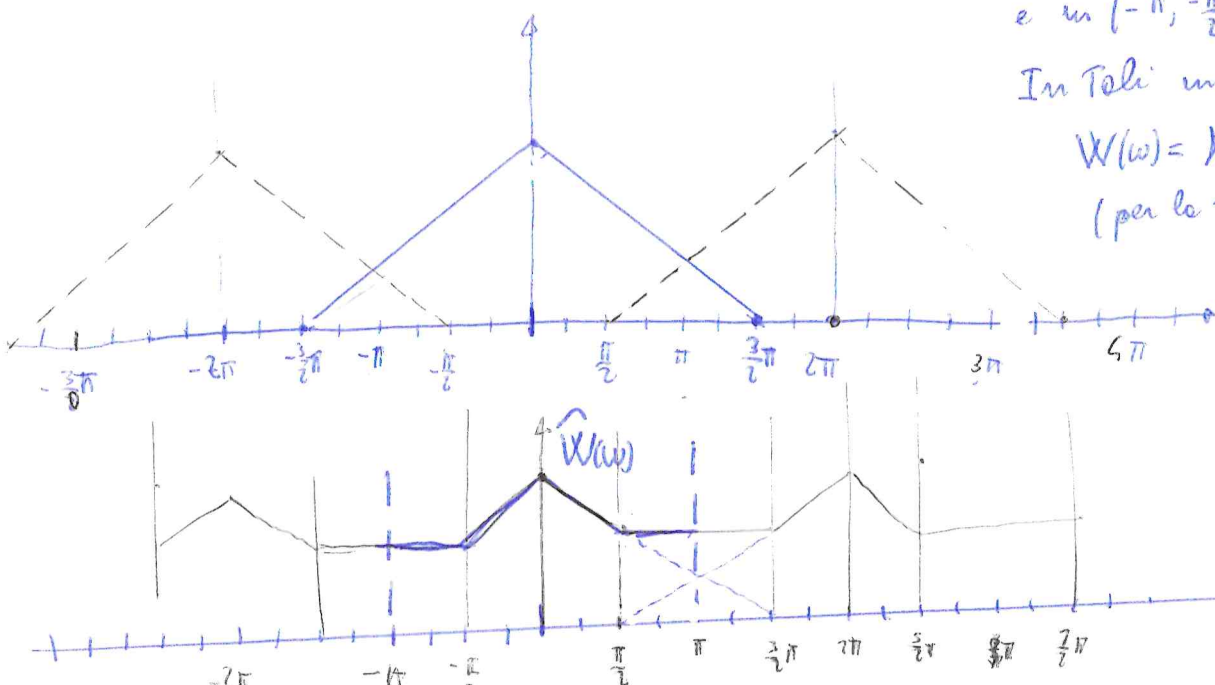
c) $Y(w) = \frac{2}{3}X\left(\frac{3}{2}w\right) = \frac{2}{3}\Delta\left(\frac{3w}{2\pi}\right)$

con supporto $(-\frac{3}{2}\pi, \frac{3}{2}\pi)$



In questo caso, le repliche centrata in zero non sovrappone in parte con le due repliche adiacenti in $(\frac{\pi}{2}, \pi)$ e in $(-\pi, -\frac{\pi}{2})$.

In tali intervalli,
 $W(w) = X(w) + X(\pi - w)$
 (per la simmetria di X)



La sovrapposizione delle pulsazioni w con $\pi - w$ è detta ALIASING e impedisce di ricostruire x dai suoi componenti.

Approfondimento nell'aliasing

Che succede se ricostruiamo un segnale dai suoi campioni senza verificare il criterio di Nyquist?

Formulazione matematica

Sia x un segnale che soddisfa le ipotesi delle formule di Poisson.

Supponiamo di campionare x con periodo T_c e di usare Tali campioni in un interpolatore ideale.

Il segnale ricostruito è:

$$\tilde{x}(t) = \sum_{n=-\infty}^{+\infty} x(nT_c) \operatorname{sinc}\left(\frac{t-nT_c}{T_c}\right)$$

Sappiamo che se il criterio di Nyquist è soddisfatto, $\tilde{x} = x$. Cerchiamo di capire invece che succede se il criterio non è soddisfatto.

Cominciamo con l'osservare che:

$$\begin{aligned} \mathcal{F}\left(\operatorname{sinc}\left(\frac{t-nT_c}{T_c}\right), t \rightarrow \omega\right)(\omega) &= \mathcal{F}\left(\operatorname{sinc}\left(\frac{t}{T_c}\right), t \rightarrow \omega\right)(\omega) \cdot e^{-j\omega T_c n} \\ &= T_c \operatorname{rect}\left(\frac{T_c \omega}{2\pi}\right) \cdot e^{-j\omega T_c n} \end{aligned}$$

Quindi la TFTC di $\tilde{x}(t)$ è:

$$\tilde{X}(\omega) = \sum_{n=-\infty}^{+\infty} x(nT_c) e^{-j(\omega T_c)n} \cdot T_c \text{rect}\left(\frac{T_c}{2\pi}\omega\right)$$

Posto $\hat{W}(n) = x(nT_c)$, per l'omonimo che

$$\sum_{n=-\infty}^{+\infty} x(nT_c) e^{-j(\omega T_c)n} = \hat{W}(\omega T_c)$$

$$\text{Dove } \hat{W}(\omega) = \frac{1}{T_c} \text{rep}_{2\pi} X\left(\frac{\omega}{T_c}\right) \Rightarrow T_c \sum_{n=-\infty}^{+\infty} x(nT_c) e^{-j(\omega T_c)n} = \text{rep}_{2\pi} \left[X\left(\frac{\omega}{T_c}\right) \right]$$

Quindi $\tilde{X}(\omega) = \left[\text{rect}\left(\frac{\omega}{2\pi}\right) \cdot T_c \hat{W}(\vartheta) \right] \Big|_{\vartheta = T_c \omega}$

Allora per capire com'è fatto \tilde{X} possiamo effettuare gli step seguenti:

a) Siha $X_1(\omega) = X\left(\frac{\omega}{T_c}\right)$: riscolo l'one delle orme per $X(\omega)$

b) $T_c \hat{W}(\omega) = \text{rep}_{2\pi} X_1(\omega) = \sum_{k=-\infty}^{+\infty} X_1(\omega - 2\pi k)$

Riplico $X_1(\omega)$ con periodo 2π

c) $X_2(\omega) = \text{rect}\left(\frac{\omega}{2\pi}\right) \cdot T_c \hat{W}(\omega)$: seleziono solo il periodo centrale di $T_c \hat{W}$

d) $\tilde{X}(\omega) = X_2(T_c \omega)$

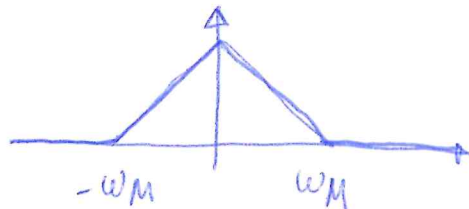
Riscolo l'one delle orme per ottenere \tilde{X}

Il punto critico è a)

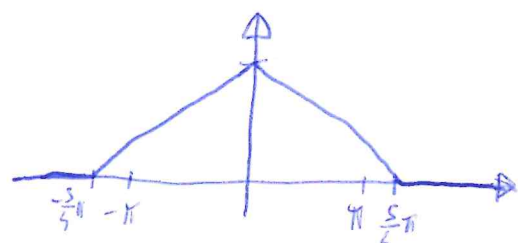
Se, dopo la risoluzione, X_1 ha supporto (cioè è non nullo) per $w \in (-\pi, \pi)$, allora non avremo che il punto b)
non "mischia" le repliche e quindi il punto c)
seleziona unicamente "un periodo" cioè l'andamento di X

Esempi

$$X(w) = \Delta\left(\frac{w}{\omega_M}\right)$$

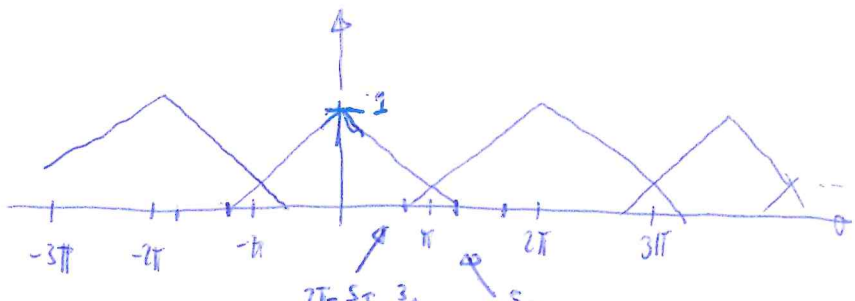


$$T_e = \frac{5}{4} \frac{\pi}{\omega_M} \quad (\text{Nyquist non soddisfatto})$$

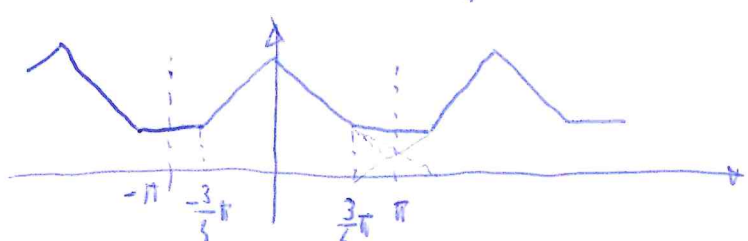


Il supporto deborda dell'intervallo $(-\pi, \pi)$

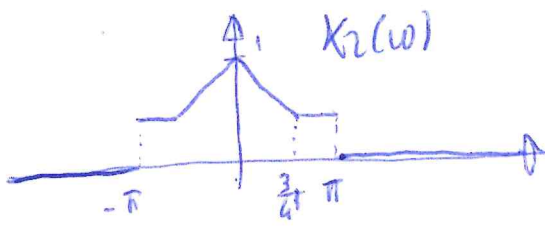
b) Periodizzazione di periodo 2π



le replica centrale in
 2π [risp. $-\pi$] ha una
"coda" che si sovrappone con
il segnale originale in $(\frac{3}{4}\pi, \pi)$
[risp. $(-\pi, -\frac{3}{4}\pi)$]: è l'**aliasing**

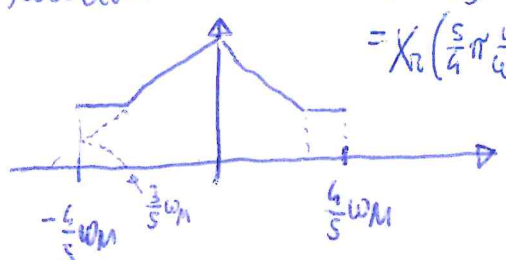


c) Selezione replica centrale



$$d) Risoluzione \tilde{X}(w) = K_1(T_e w) =$$

$$= X_2\left(\frac{5}{4}\frac{\pi}{\omega_M} w\right)$$



Infatti, $X_2(\omega)$ ha supporto per $\omega \in (-\pi, \pi)$

Siccome $\tilde{X}(\omega) = X_2(T_c \omega)$, il suo supporto è:

$$-\pi < T_c \omega < \pi \quad (\Leftrightarrow) \quad \left| \omega \right| < \frac{\pi}{T_c} = \frac{\pi}{\frac{3}{4} \omega_m} = \frac{4}{3} \omega_m$$

Infatti, un segnale ottenuto combinando $\sin\left(\frac{t}{T_c}\right)$ ha banda $(-\frac{\pi}{T_c}, \frac{\pi}{T_c})$ che in questo caso è $(-\frac{4}{3} \omega_m, \frac{4}{3} \omega_m)$

Quindi è impossibile ricostruire il contenuto frequenziale del segnale in $(\frac{4}{3} \omega_m, \omega_m)$ e in $(-\omega_m, -\frac{4}{3} \omega_m)$

Inoltre, il contenuto di $X(\omega)$ in $(\frac{4}{3} \omega_m, \omega_m)$ (e similmente a pulsazione negativa) non trova "ripiegato": per $X_2(\omega)$ è l'intervallo $(\frac{3}{4} \pi, \pi)$, che corrisponde a:

$$\frac{3}{4} \pi < T_c \omega < \pi \quad (\Leftrightarrow) \quad \frac{3}{4} \pi < \frac{5}{4} \pi \frac{\omega}{\omega_m} < \pi \quad (\Leftrightarrow) \quad \frac{3}{5} \omega_m < \omega < \frac{4}{5} \omega_m$$

Quindi non solo manca il contenuto spettrale $T_c \frac{4}{3} \omega_m$ e ω_m , ma tale contenuto è "ripiegato" in $(\frac{3}{5} \omega_m, \frac{4}{5} \omega_m)$

[similmente per gli ω negativi]

